

شتاب نگاشت‌های واقعی و ساختگی با طیف پاسخی منطبق بر طیف طرح ویرایش سوم استاندارد ۲۸۰۰

امید بهار (استادیار)

محمد کفashian (کارشناس ارشد)

پژوهشگاه ملی زلزله‌شناسی و مهندسی زلزله

با توجه به این که کشور ایران در منطقه‌ی لرزه‌خیز واقع شده، خسارات مالی و جانی زیاد زلزله‌های اخیر اهمیت بررسی‌های بیشتر در زمینه‌ی ارزیابی روش‌های طراحی موجود را افزایش داده است. برای پیشبرد تحقیقات مربوط به زلزله، تهیه‌ی شتاب نگاشت‌هایی با طیف پاسخ منطبق بر طیف طرح یا طیف با سطح خطر مشخص ضروری است. هدف این مقاله ارائه‌ی روشنی برای تهیه‌ی چنین شتاب نگاشت‌هایی از شتاب نگاشت‌های واقعی است. این روش مبتنی است بر تقسیم دامنه‌های پریودیک طیف پاسخ به فواصل مشخص و یافتن ضریب مقایس برای هر کدام از دامنه‌ها. در ادامه هفت شتاب نگاشت ساختگی با نرم‌افزار I-SIMQKE و هفت شتاب نگاشت واقعی مقایس شده با روش پیشنهادی، با طیف پاسخ منطبق بر طیف طرح ویرایش سوم استاندارد ۲۸۰۰، برای نوع خاک سوم و خطر خیلی زیاد تولید شده‌اند. برای ارزیابی مجموعه شتاب نگاشت‌های تولیدشده، رفتار لرزه‌یی غیرخطی سازه‌های بتی مورد بررسی قرار گرفته است. بررسی‌ها می‌بن آن است که روش پیشنهادی می‌تواند بدون افزایش قابل ملاحظه‌ی انرژی ورودی، شتاب نگاشت‌هایی با خصوصیات مشخص تولید نماید که می‌تواند به منظور تحلیل و طراحی سازه‌ها مورد استفاده قرار گیرد.

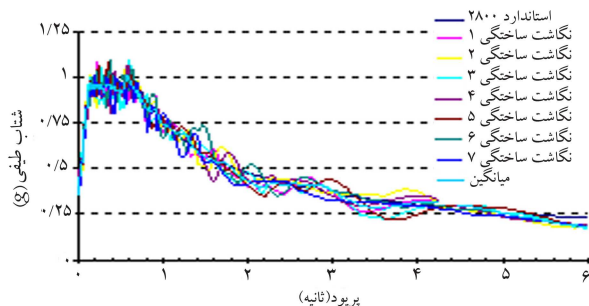
واژگان کلیدی: شتاب نگاشت‌های منطبق بر طیف طرح، شتاب نگاشت‌های ساختگی، شتاب نگاشت‌های واقعی، ویرایش سوم استاندارد ۲۸۰۰.

omidbahar@iiees.ac.ir
m.kaffashian@iiees.ac.ir

مقدمه

این روش یک مجموعه شتاب نگاشت مصنوعی تولید می‌شود که خصوصیات پایه و حتی ظاهری بسیار نزدیکی به هم دارند. دیدگاه دیگری که در آئین نامه‌های لرزه‌یی توصیه شده است، استفاده از شتاب نگاشت‌های حقیقی با طیف منطبق بر طیف طرح موردنظر است. از آنجا که به طور معمول طیف‌های طرح حاوی خصوصیات میدان دور و میدان نزدیک به صورت توانمند، استفاده از یک ضریب عددی به منظور انطباق طیف‌ها منجر به تولید شتاب نگاشت‌های بسیار قوی خواهد شد که در نهایت با طبیعت لرزه‌یی سازگاری نداشته و متنه به سازه‌هایی غیراقصدادی می‌شود. برای رفع این مشکل، در این نوشتار با ارائه‌ی یک روش ساده، با تقسیم بردار پریود منحنی طیف به چندین قسمت، و منطبق کردن طیف شتاب نگاشت با طیف طرح در هر قسمت، شتاب نگاشت جدیدی به دست آمده است که بدون افزایش قابل توجه مقدار انرژی آن، انطباق قابل ملاحظه‌یی با طیف طرح دارد. در بخش‌های بعدی ابتدا به شتاب نگاشت‌های ساختگی پرداخته شده و سپس روش پیشنهادی با جزئیات ارائه می‌شود. در نهایت، تحلیل‌های غیرخطی تاریخچه‌ی زمانی دو قاب دوازده طبقه‌ی بتی که یکی با روش مستقیم مبتنی بر تغییر مکان^[۱] و دیگری با روش نیرویی استاندارد ۲۸۰۰ ویرایش سوم طراحی شده‌اند مبنای ارزیابی عملکرد شتاب نگاشت‌ها قرار گرفته است.

در بسیاری از زمینه‌های مهندسی -- از جمله طراحی سازه‌های خاص، طراحی سازه در یک ساختگاه خاص -- تحلیل و ارزیابی رفتار لرزه‌یی سازه‌های موجود به منظور کنترل رفتار لرزه‌یی، مقاوم‌سازی، بهسازی و ترمیم، لزوم استفاده از شتاب نگاشت‌های منطبق با طیف طرح اجتناب ناپذیر است. شتاب نگاشت‌ها اطلاعاتی از چشمیه با گسل آزادسازی انرژی و خصوصیات مسیر طی شده تا محل نیت را در خود جای داده‌اند. هر شتاب نگاشت براساس خصوصیات بزرگ، محتوای فرکانسی، انرژی و مدت زمان اثر به طور منحصر به فردی از دیگر شتاب نگاشت‌ها تتمایز می‌شود. این خصوصیات مانع از امکان استفاده‌ی مستقیم از یک شتاب نگاشت برای تحلیل و طراحی سازه‌های دیگر می‌شود. برای رفع این مشکل معمولاً آئین نامه‌ها ترکیب چند شتاب نگاشت با خصوصیات پایه‌ی یکسان و طیف منطبق با طیف طرح را پیشنهاد می‌کنند. اما در عمل یافتن شتاب نگاشتی که با یک طیف طرح خاص (با تمامی مبانی‌یی که در تدوین و تبیین آن نقش داشته‌اند) منطبق باشد و حتی به آن نزدیک باشد، به همین دلیل در دهه‌ی هفتاد میلادی پیشنهاد ساخت شتاب نگاشت‌های مصنوعی با خصوصیات پایه‌ی مشخص مطرح شد.^[۲] این شتاب نگاشت‌ها از ترکیب موج‌های هارمونیک با اختلاف فازهای تصادفی تولید می‌شوند. در نهایت برای اعمال رفتار گذرای موج لرزه‌یی، یک منحنی پوش بر آن‌ها تحمیل می‌گردد. با استفاده از



شکل ۳. مقایسه‌ی طیف‌های پاسخ شتاب‌نگاشت‌های ساختگی با طیف طرح ویرایش سوم استاندارد ۲۸۰۰

پاسخ شتاب‌نگاشت‌های ساختگی تولیدشده با نرم‌افزار *SIMQKEI* با طیف طرح ویرایش سوم استاندارد ۲۸۰۰ برای خاک نوع سوم و خطر خیلی زیاد نشان داده شده است.

شتاب‌نگاشت‌های واقعی

برای استفاده از شتاب‌نگاشت‌های واقعی مطابق بند (۴-۱-۲-۴-۲) استاندارد ۲۸۰۰ باید شتاب‌نگاشت‌های مورد استفاده اصلاح شوند.^[۲] در این نوشته به دلیل استفاده از یک مؤلفه‌ی شتاب‌نگاشت برای سازه‌های دو بعدی به جای ضریب مقیاس ۱/۴ استفاده شده است. با توجه به این که طیف پاسخ شتاب‌نگاشت‌ها اکثر در پریودهای بالا بسیار کمتر از طیف طرح استاندارد ۲۸۰۰ هستند، اگر همین ضریب به عنوان مقیاس بر روی کل شتاب‌نگاشت اعمال شود ناحیه‌ی ابتدایی طیف پاسخ از طیف طرح بسیار بزرگ‌تر خواهد شد. به همین دلیل و به منظور جلوگیری از این مشکل، روشی پیشنهادی برای مقایسه‌ی شتاب‌نگاشت ارائه شده است. روش پیشنهادی خلاصه‌وار در چند گام ارائه شده است:

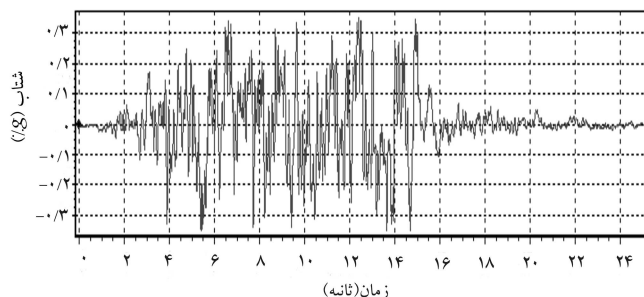
۱. طیف پاسخ خطی شتاب‌نگاشت ترسیم می‌شود؛
۲. طیف پاسخ شتاب‌نگاشت به تعداد محدوده‌ی پریودی (در این مقاله ۱۲ ناحیه) مطابق جدول ۱ تقسیم می‌شود؛

جدول ۱. مشخصات شتاب‌نگاشت‌های واقعی مورد استفاده، قبل و بعد از مقیاس.

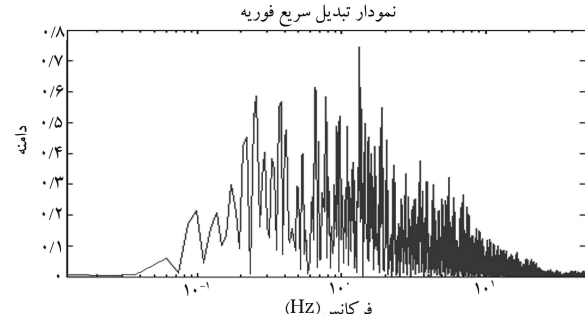
نام شتاب‌نگاشت	زمان و قوع	نام ایستگاه	بزرگا	بیشینه‌ی شتاب زمین (قبل از مقیاس)	بیشینه‌ی شتاب زمین (بعد از مقیاس)	مدت زمان شتاب‌نگاشت	فاصله زمانی شتاب‌نگاشت
آب بر	۱۹۹۰/۰۶/۲۰	abbar	۶/۴	۰/۵۱	۰/۵۵	۵۳/۵۲	۰/۰۲
بم	۲۰۰۳/۱۲/۲۶	Bam	۶/۷	۰/۷۲	۰/۵۰	۶۶/۵۵	۰/۰۰۵
الستترو	۱۹۴۰/۰۵/۱۸	Imperial Valley	—	۰/۳۱	۰/۴۴	۴۰	۰/۰۱
کوبه	۱۹۹۵/۰۱/۱۶	◦KJMA	۶/۹	۰/۸۲	۰/۳۷	۴۸	۰/۰۲
نقفت	۱۹۵۲	Arvin	—	۰/۱۷	۰/۵۸	۵۴/۴	۰/۰۲
طبس	۱۹۷۸/۰۹/۱۶	۹۱۰۱ Tabas	۷/۴	۰/۸۳	۰/۴۵	۳۲/۸۴	۰/۰۲
نورتریج	۱۹۹۴/۰۱/۱۷	۲۴۴۳۶ Tarzana	۶/۷	۰/۹۹	۰/۴۴	۴۰	۰/۰۲

شتاب‌نگاشت‌های ساختگی با استفاده از نرم‌افزار *SIMQKEI* منطبق بر طیف طرح ویرایش سوم استاندارد ۲۸۰۰ تولید شده‌اند.^[۳] در فایل ورودی این نرم‌افزار به منظور اعمال شرایط گذاری شتاب‌نگاشت، یک منحنی پوش با اطلاعاتی در مورد زمان اوج، طول مدت لرزه‌ی شدید و زمان نزول در کنار طیف طرحی که می‌خواهیم طیف پاسخ شتاب‌نگاشت منطبق بر آن باشد، داده می‌شود. در این نوشته پوش شتاب‌نگاشت‌ها براساس مدل *Compound* انتخاب شده است.^[۱]

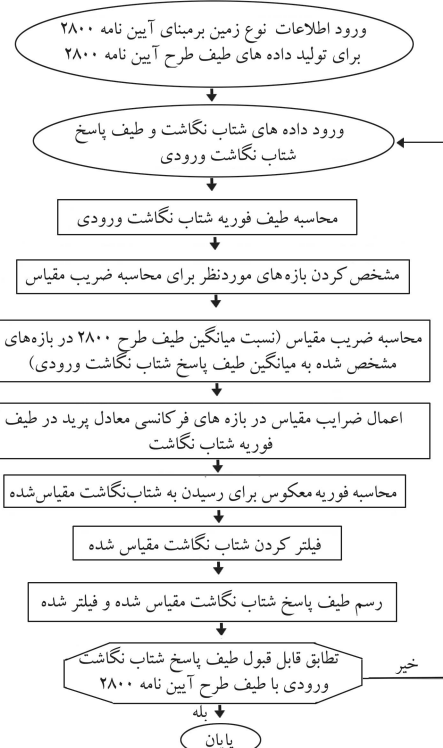
شکل ۱ یکی از هفت شتاب‌نگاشت ساختگی تولیدشده، و شکل ۲ محتوای فرکانسی آن را نشان می‌دهد. در شکل ۳ نیز نتایج حاصل از مقایسه‌ی طیف‌های



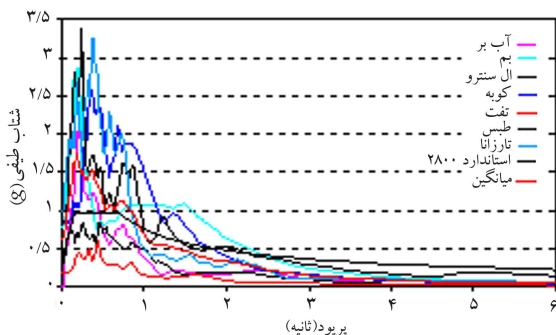
شکل ۱. شتاب‌نگاشت ساختگی با طیف پاسخ منطبق بر طیف طرح ویرایش سوم استاندارد ۲۸۰۰.



شکل ۲. محتوای فرکانسی شتاب‌نگاشت ساختگی با طیف پاسخ منطبق بر طیف طرح ویرایش سوم استاندارد ۲۸۰۰.



شکل ۴. فلوچارت الگوریتم انطباق طیف پاسخ شتاب نگاشت واقعی با طیف طرح استاندارد ۲۸۰۰.



شکل ۵. مقایسه‌ی طیف‌های پاسخ شتاب نگاشت‌های واقعی با طیف طرح استاندارد ۲۸۰۰.

زمان شتاب نگاشت مقیاس و فیلترشده آمده است. شکل ۷ نیز تغییرات دامنه‌های فرکانسی طیف تبدیل فوریه‌ی شتاب نگاشت واقعی به را قبل و بعد از اصلاح نشان می‌دهد. مشابه همین عملیات بر روی بقیه‌ی شتاب نگاشت‌های مشخص شده در جدول ۱ نیز انجام پذیرفته است که تغییرات بیشینه‌ی شتاب شتاب نگاشت‌ها قبل و بعد از انطباق قابل ملاحظه است. در ابتدا در این مجموعه از شتاب نگاشت‌ها ناقان به‌جای شتاب نگاشت نفت استفاده شده بود. اما بدلیل تعداد کم داده‌های این شتاب نگاشت در پریودهای بالا، ضرایب مقیاس نمی‌توانست نزدیکی مناسبی با طیف طرح استاندارد ۲۸۰۰ ایجاد کند (شکل ۸). بنابراین در ادامه‌ی کاراز این شتاب نگاشت صرف‌نظر شد و به جای آن از شتاب نگاشت واقعی (نفت) استفاده شد. در شکل ۹ مقایسه‌ی طیف پاسخ هفت شتاب نگاشت واقعی پس از انطباق و میانگین آن‌ها با طیف طرح استاندارد ۲۸۰۰ (برای نوع خاک سوم و خطر خیلی زیاد) نشان داده شده است.

۳. میانگین طیف پاسخ در هر ناحیه با میانگین طیف طرح در همان ناحیه مقایسه می‌شود؛

۴. ضریب اصلاح هر ناحیه که از مرحله‌ی ۳ به دست آمده در محدوده‌های فرکانسی متناظر با همان ناحیه در تبدیل فرکانسی شتاب نگاشت اعمال می‌شود (ازم به ذکر است که تبدیل فرکانسی شتاب نگاشت دو نیمه‌ی کاملاً متقاضان دارد که این تصحیح باید بر روی هر دو ناحیه اعمال شود)؛

۵. معکوس تبدیل فرکانسی اصلاح شده شتاب نگاشت به حوزه‌ی زمان برگردانده می‌شود؛

۶. منحنی سرعت - زمان شتاب نگاشت برای اطمینان از صفرشدن دامنه‌ی سرعت در انتهای حوزه‌ی زمان ترسیم می‌شود؛

۷. چنانچه شرط لازم در بند ۶ برآورده شود، عملیات خاتمه یافته و شتاب نگاشت مورد نظر اصلاح شده است. در غیر این صورت با اعمال یک فیلتر میانگذر بر روی شتاب نگاشت مجدداً مرحله‌ی ۱ بازمی‌گردیم.

تحلیل‌ها نشان داده‌اند که این مراحل پس از عدم احراز شرط ۶ فقط یک بار دیگر نیاز دارد تا تکرار شود. چنانچه در مرحله‌ی دوم مجدداً دامنه‌ی سرعت در انتهای زمان صفر نشود، تکرارهای بعدی نیز می‌فایدند خواهد بود. در این صورت لازم است شتاب نگاشت مورد نظر با شتاب نگاشت مناسب دیگری جایگزین شود. این مراحل در شکل ۴ نشان داده شده است.

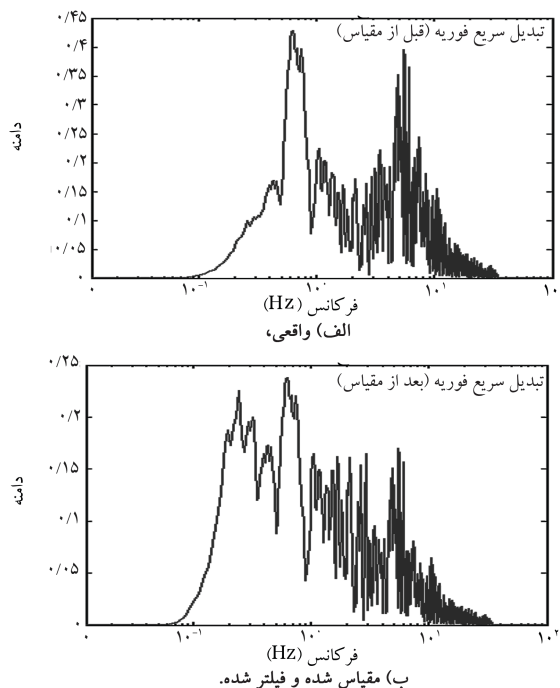
طیف طرح مورد نظر: در این تحقیق طیف طرح آین نامه براساس نوع خاک سوم و منطقه‌ی با خطر خیلی زیاد در نظر گرفته شده است. از آنجا که ضریب اهمیت سازه ۱ در نظر گرفته شده و رفتار غیرخطی سازه مورد نظر بوده، مبنای طیف طرح است. $S_a = AB$ است که A مقدار شتاب مبنای طرح و B ضریب بازتاب ساختمان طیف طرح مورد نظر: در این تحقیق طیف طرح آین نامه براساس نوع خاک سوم و منطقه‌ی با خطر خیلی زیاد در نظر گرفته شده است. از آنجا که ضریب اهمیت سازه ۱ در نظر گرفته شده و رفتار غیرخطی سازه مورد نظر بوده، مبنای طیف طرح است.

معیار انتخاب شتاب نگاشت‌های واقعی: معمولاً برای انتخاب یک مجموعه شتاب نگاشت حقیقی پارامترهای مشخصی مدنظر قرار می‌گیرد؛ از جمله بزرگاً، نوع خاک، فاصله از گسل، سازوکار گسلش، و عمق کانونی.

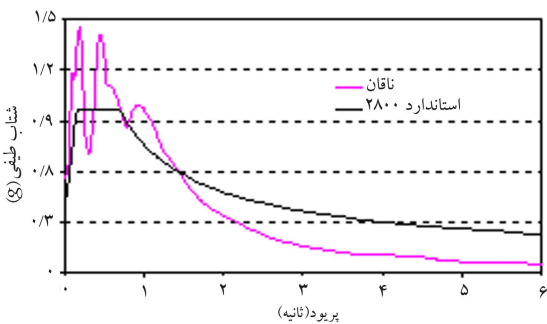
از آنجا که طیف طرح مدنظر، طیف عمومی استاندارد ۲۸۰۰ بوده که پارامترهای لرزه‌بی ساختگاه، غیر از نوع خاک، در آن منظور نشده، برای انتخاب شتاب نگاشت‌های واقعی هیچ‌گونه محدودیتی در نظر گرفته نشده است. اما در عین حال سعی شده هرچه بیشتر از شتاب نگاشت‌های گستره‌ی ایران استفاده شود. در شکل ۵ طیف پاسخ شتاب نگاشت‌های واقعی مقیاس نشده که نام آن‌ها در جدول ۱ آمده است، با طیف طرح استاندارد ۲۸۰۰ مقایسه شده است.

مقایس سازی شتاب نگاشت‌های واقعی: براساس روندی که در ابتدای قسمت قبلی تشریح شد، دامنه‌ی پریود طیف پاسخ شتاب نگاشت‌های واقعی به دوازده ناحیه تقسیم‌بندی شد: ۱. سه ناحیه‌ی مساوی در دامنه‌ی صفر تا T_1 ثانیه (براساس طیف استاندارد ۲۸۰۰)؛ ۲. سه ناحیه‌ی مساوی در دامنه‌ی T_1 تا T_2 ثانیه؛ ۳. ناحیه‌ی T_2 تا ۱ ثانیه؛ ۴. پنج ناحیه‌ی مساوی در فاصله‌ی ۱ تا ۶ ثانیه.

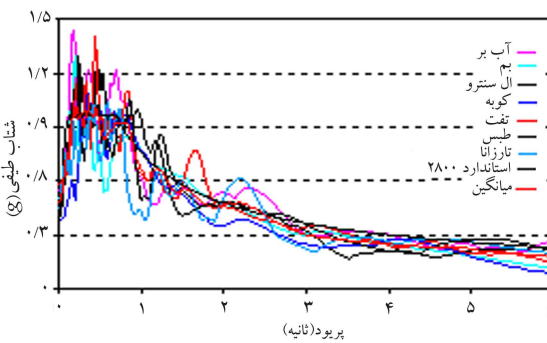
پس از محاسبه‌ی ضریب مقیاس در هر کدام از این نواحی و اعمال آن بر روی طیف تبدیل فوریه‌ی شتاب نگاشت واقعی، شتاب نگاشت‌ها با تبدیل معکوس فوریه به حوزه‌ی زمان برگردانده شده‌اند. در این مرحله نمودار سرعت - زمان آن ترسیم شده و در صورت لزوم با اعمال فیلتر میانگذر با دامنه‌ی مناسب، دامنه‌ی سرعت در انتهای زمان تصحیح شده است. پس از کنترل مجدد انطباق طیف پاسخ شتاب نگاشت با طیف طرح روند کامل شده است. برای مثال، در شکل ۶ نمودار شتاب نگاشت اصلی بهم، قبل و بعد از مقیاس و فیلتر شدن، و نمودارهای سرعت - زمان و تغییر مکان -



شکل ۷. تبدیل فوریه‌ی شتاب نگاشت بهم.

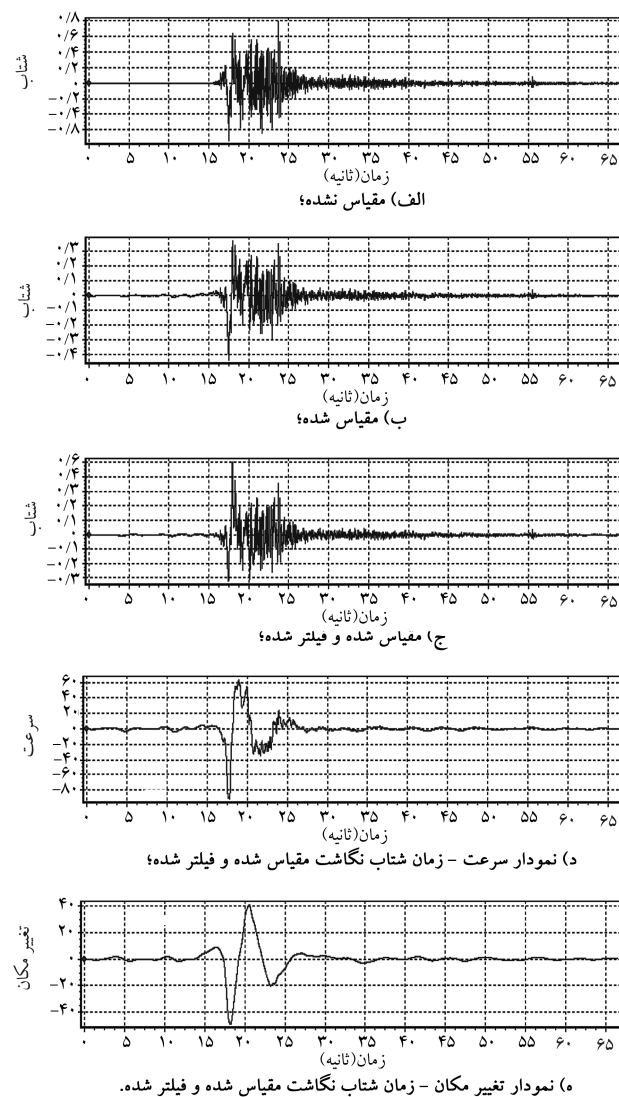


شکل ۸. مقایسه‌ی طیف طرح استاندارد ۲۸۰۰ با طیف پاسخ شتاب نگاشت نماهنگ بعد از مقیاس.



شکل ۹. مقایسه‌ی طیف‌های پاسخ شتاب نگاشت‌های واقعی مقیاس شده با طیف طرح استاندارد ۲۸۰۰ بهم.

انرژی ورودی آنها در شکل ۱۰ به نظر می‌رسد: ۱. انطباق طیف طرح یک زلزله واقعی لزوماً انرژی ورودی آن را افزایش نمی‌دهد (شتاب نگاشت‌های طبس، کوبه و بهم); ۲. افزایش یا کاهش بیشینه‌ی شتاب زمین در هر شتاب نگاشت لزوماً با انرژی



شکل ۶. شتاب نگاشت بهم.

مقایسه‌ی انرژی ورودی دو مجموعه شتاب نگاشت: در این قسمت انرژی ورودی شتاب نگاشت‌های «ساختگی» و «واقعی مقیاس شده» با انرژی ورودی شتاب نگاشت‌های واقعی مقایسه شده است. برای محاسبه‌ی انرژی ورودی هر شتاب نگاشت از رابطه‌ی ۱ استفاده شده است:^[۵]

$$\frac{E_i}{m} = 2/\sqrt{2}(t_{di})^{1/5}(PGV)^1 \quad (1)$$

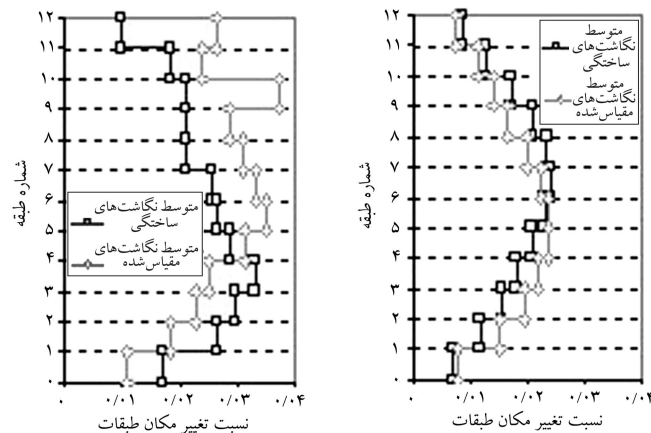
که در آن t_{di} مدت زمان مؤثر زلزله است که براساس روش Trifunac & Brady محاسبه می‌شود،^[۶] و PGV سرعت بیشینه‌ی زمین متضایر با شتاب نگاشت مورد نظر در هنگام زلزله است. رابطه‌ی ۱ برای ناحیه‌ی سرعت ثابت (برآوردهای متوسط) است که تقریباً بین ۰/۳۵ تا ۳ ثانیه است. از آنجا که اکثر سازه‌های معمولی در این ناحیه‌ی پریودی قرار دارند، رابطه‌ی ۱ می‌تواند معیار مناسبی از انرژی ورودی به سازه باشد. مقایسه‌ی انرژی ورودی ناشی از شتاب نگاشت‌های واقعی قبل و بعد از مقیاس شدن در شکل ۱۰ نشان داده شده است. چنان که مشاهده می‌شود میانگین انرژی ورودی شتاب نگاشت‌های واقعی بعد از مقیاس تقریباً ۱/۶۵ برابر قبل از مقیاس است. از مقایسه‌ی مشخصات اولیه‌ی شتاب نگاشت‌ها در جدول ۱ و مقدار

رفتار دینامیکی غیرخطی یکسانی داشت. این موضوع در قسمت‌های بعدی مورد بررسی قرار می‌گیرد.

ارزیابی عملکرد سازه‌ی ۱۲ طبقه

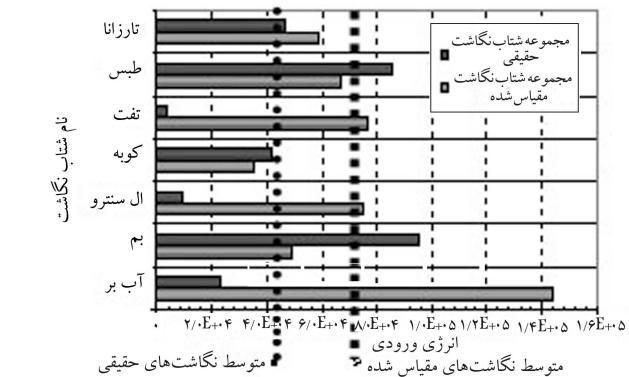
در این مطالعه‌ی قاب خمی ۱۲ طبقه‌ی بتی منظم با دودهانه‌ی ۶ متری بهارتفاع مشابه ۳ متر مدل شده است. وزن کل هر طبقه $407,16 KN$ است. مقاومت فشاری بتن ۲۸ روزه 35 MPa و مقاومت کششی آراماتورهای طولی و عرضی به ترتیب 450 MPa و 350 MPa است. قاب‌های مذکور به روش طراحی مستقیم مبتنی بر تغییر مکان^[۱۵] و روش طراحی مبتنی بر نیروهای استاندارد 280° طراحی شدند. در روش مستقیم مبتنی بر تغییر مکان (DDBD) سازه از ابتدا با فرض یک تغییر شکل نهایی مشخص و از پیش تعیین شده طراحی شده است. سپس برای ارزیابی عملکرد آن، تاریخچه‌ی زمانی غیرخطی با نرم افزار OPENSEES^[۱۶] و تحت شتاب‌نگاشتهای «ساختگی» و «واقعی مقیاس شده» تحلیل شده است.^[۱۷] برای ساده‌سازی آنالیزها و برای تمرکز بر اثرات خاص دینامیکی مورد نظر در این مطالعه، فرضیات زیر با توجه به مدل‌های مورد استفاده اعمال شده است. المان‌ها به صورت غیر ارجاعی و از نوع Nonlinear Beam Column است که دارای قابلیت اعمال اثر خمیرسانی به صورت گستردگی در طول المان هستند. آنالیزهای انجام شده به روش اجزاء محدود و با فرض مدل FiberSection است. حل عددی در نظر گرفته شده نیوتن - رافسون و روش انگل‌گیری روش Newmark با ضرایب $\alpha = 0.5, \beta = 0.25$ است. میرایی ویکوز برای آنالیز تاریخچه‌ی زمانی به روش رایلی محاسبه شده است.^[۱۸] اثر ΔP با توجه به قابلیت‌های نرم افزار در نظر گرفته شده است. از تغییر شکل‌های برشی نیز صرف نظر شده است.

مقایسه‌ی نسبت تغییر مکان طبقات: نتایج نسبت تغییر مکان طبقات برای سازه ۱۲ طبقه طراحی شده به روش مستقیم مبتنی بر تغییر مکان و روش استاندارد 280° در شکل ۱۳ نشان داده شده است. چنان که از شکل ۱۳ می‌توان دریافت، نسبت تغییر مکان طبقات حاصل از این دو مجموعه شتاب‌نگاشت برای سازه‌ی DDBD نتایج مشابهی حاصل می‌شود، در حالی که در مورد سازه‌ی آئین‌نامه‌ی نتایج بسیار متفاوت‌اند. اختلاف رفتاری دو سازه، اگرچه تا حد زیادی به دلیل دوری یا نزدیکی محتواهای غالب فرآینسی مجموعه نگاشتهای به فرآینس غالب آن‌ها است، باید توجه داشت که هر دو سازه براساس یک طیف طرح طراحی شده‌اند. بررسی‌ها

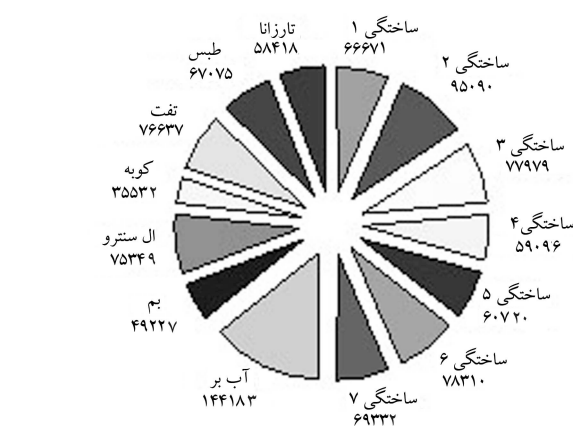


شکل ۱۳. مقایسه‌ی نسبت تغییر مکان طبقات برای سازه ۱۲ طبقه از راست به ترتیب طراحی شده به روش DDBD و استاندارد 280° .

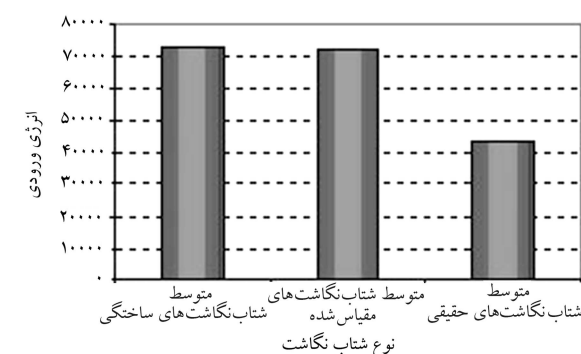
ورودی آن نسبت مستقیم ندارد (در شتاب‌نگاشت تازه‌انا با کاهش بیشینه‌ی شتاب زمین شاهد افزایش انرژی ورودی هستیم). انرژی ورودی کلیه‌ی شتاب‌نگاشتهای «ساختگی» و «واقعی مقیاس شده» در شکل ۱۱ آورده شده است. با این که مقدار انرژی ورودی آن‌ها با هم متفاوت است، مشابهت قابل توجهی در میانگین کلی هر دو مجموعه دیده می‌شود. این مسئله را در شکل ۱۲ نیز به‌وضوح می‌توان مشاهده کرد. به عبارت ساده‌تر شاید بتوان گفت که اگر سازه به‌گونه‌ی طراحی شده باشد که مقاصل خمیری زودهنگام در ستون‌های آن به وجود نیاید، می‌توان از دو مجموعه شتاب‌نگاشت منطبق با طیف طرح که میانگین انرژی ورودی یکسانی دارند انتظار



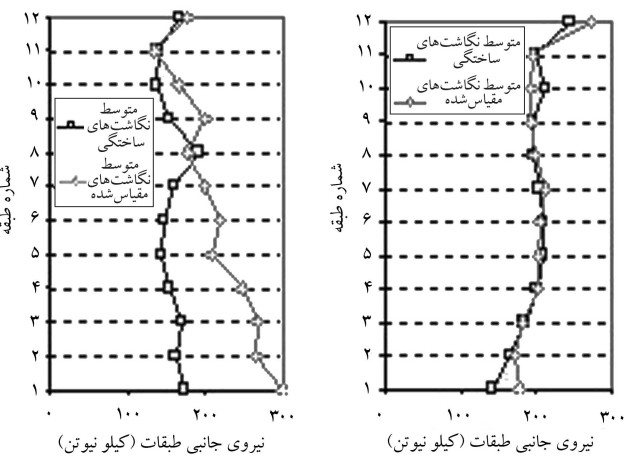
شکل ۱۰. مقایسه‌ی انرژی ورودی شتاب‌نگاشتهای واقعی قبل و بعد از مقیاس.



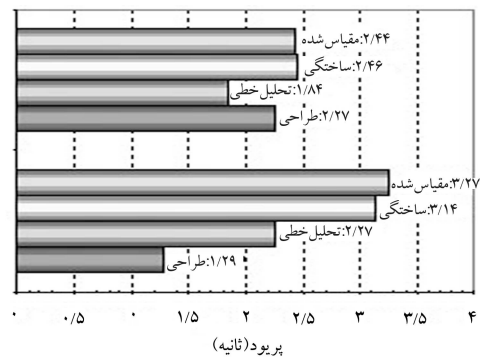
شکل ۱۱. مقایسه‌ی انرژی ورودی شتاب‌نگاشتهای ساختگی و واقعی مقیاس شده.



شکل ۱۲. مقایسه‌ی میانگین انرژی ورودی شتاب‌نگاشتهای واقعی، ساختگی، واقعی مقیاس شده.



شکل ۱۴. نیروهای جانبی طبقات برای سازه‌ی ۱۲ طبقه‌ی بتني، از راست؛ طراحی شده به روش DDBD استاندارد ۲۸۰۰.



شکل ۱۵. پریود سازه‌ی ۱۲ طبقه‌ی بتني در مراحل طراحی اولیه، شروع تحلیل، و پایان مرحله‌ی تحلیل غیرخطی.

شکل ۱۴ نشان داده شده است. مطابق انتظار، مشاهده می‌شود که در سازه‌های طراحی شده به روش مستقیم مبتنی بر تغییر مکان که عملکردی قابل پیش‌بینی دارد نتایج آنالیز با دسری شتاب‌نگاشت تقریباً برهمن منطقی‌اند. درست مشاهده قسمت قبل به دلیل تشکیل مفصل خمیری در موقعیت‌های متفاوت از ستون‌های سازه، توزیع نیروی جانبی بیشینه‌ی طبقات در سازه‌ی طراحی شده براساس نیروهای آئین‌نامه‌ی برای دو مجموعه شتاب‌نگاشت کاملاً باهم متفاوت‌اند. این تفاوت باز هم نشان‌گر اهمیت انتخاب شتاب‌نگاشت‌ها خصوصاً در ارزیابی‌های آسیب‌پذیری و مقاومت‌سازی سازه‌هایی است که با آئین‌نامه طراحی شده‌اند.

مقایسه‌ی پریود: در شکل ۱۵ پریودهای ارتعاشی سازه‌ی ۱۲ طبقه‌ی بتني در مرحله‌ی طراحی اولیه و در مراحل ابتدا و انتهای تحلیل غیرخطی تحت شتاب‌نگاشت‌های «ساختگی» و «واقعی مقیاس‌شده» نشان داده شده است. تغییرات پریود در سازه‌ی طراحی شده با DDBD تحت شتاب‌نگاشت‌های «ساختگی» و «واقعی مقیاس‌شده» به ترتیب ۳۴ و ۳۳ درصد بوده است. در حالی‌که در مرور سازه‌ی طراحی شده بازه‌های آئین‌نامه‌ی این مقادیر به ترتیب ۴۰ و ۳۸ درصد بوده است. وجود این اختلاف بازهم به رفتار متفاوت سازه در مقابل دو مجموعه شتاب‌نگاشت بازمی‌گردد که پیش‌بینی رفتار لرزه‌ی واقعی آن را مشکل می‌سازد. این در حالی است که سازه‌ی دوم با داشتن پریود بلندتر عمل‌آباد نیروهای ضعیف‌تری را تجربه می‌کرد.

نتیجه‌گیری

در این نوشتار روشی برای دست‌یابی به شتاب‌نگاشت‌هایی با طیف منطبق بر طیف طرح پیشنهاد شده است. روش کار بدین صورت است که دامنه‌ی فرکانس‌های مشخص طیف فوریه‌ی شتاب‌نگاشت‌های واقعی در ضریب اصلاحی که از انطباق طیف پاسخ شتاب‌نگاشت با طیف طرح در همان دامنه‌ی فرکانسی به دست آمده، اصلاح می‌شود. پس از این تغییر بسیاری از خصوصیات شتاب‌نگاشت -- ازجمله بیشینه‌ی شتاب زمین، محتوای غالب فرکانسی و انرژی ورودی آن -- دستخوش تغییر می‌گردد. بهمنظور مقایسه، یک مجموعه شتاب‌نگاشت ساختگی نیز تولید شد. بررسی‌ها نشان داده‌اند که میانگین انرژی ورودی به سازه‌ی هر دو مجموعه شتاب‌نگاشت‌های ساختگی و واقعی مقیاس‌شده تقریباً برابرند. به عبارت دیگر می‌توان چنین تصور کرد که انطباق با یک طیف طرح مجموعه شتاب‌نگاشت‌ها را به سمت انرژی ورودی مشخصی هدایت می‌کند.

پس از آن رفتار دینامیکی غیرخطی دو سازه -- یکی طراحی شده با روش مستقیم مبتنی بر تغییر مکان، و دیگری طراحی شده با روش نیرویی مبتنی بر استاندارد ۲۸۰۰ -- تحت اثر این دو مجموعه شتاب‌نگاشت قرار گرفت. بررسی‌ها نشان دادند که ۱. چنانچه رفتار سازه منسجم و یک‌پارچه باشد و احتمال تشکیل مفصل خمیری در ستون‌ها به حداقل برسد، از شتاب‌نگاشت‌های ساختگی نیز می‌توان برای تحلیل غیرخطی سازه‌ها استفاده کرد.

۲. در غیراین صورت مجموعه شتاب‌نگاشت‌ها باید براساس محتوای غالب فرکانسی سازه یا ساختگاه مورد نظر انتخاب شود. چرا که بررسی رفتار لرزه‌ی این‌گونه سازه‌ها نیاز به معیارهای قوی تر و کامل تری برای انتخاب شتاب‌نگاشت‌های واقعی با محدوده فرکانسی مشخص دارد. استفاده از مجموعه شتاب‌نگاشت‌هایی با فرکانس غالب متفاوت می‌تواند به نتایج متفاوتی متوجه شود که گاه دور از واقعیت است.

نشان داده‌اند که در هیچ‌کدام از این تحلیل‌ها، در ستون‌های سازه‌ی طراحی شده با DDBD مفصل خمیری تشکیل نشده است. به همین دلیل رفتار آن در مقابل هر دو مجموعه شتاب‌نگاشت، رفتاری منسجم و یکنواخت است. به عبارت دیگر در مرور سازه‌هایی که با این روش طراحی می‌شوند می‌توان در صورت نبود شتاب‌نگاشت‌های واقعی از شتاب‌نگاشت‌های ساختگی نیز بهره جست. از طرف دیگر در سازه‌ی طرح شده براساس نیروهای آئین‌نامه‌ی وجود اختلاف در محتوای فرکانسی دو مجموعه شتاب‌نگاشت باعث تشکیل مفاسصل خمیری در موقعیت‌های متفاوت در ستون‌های سازه شده است. [۱] این مسئله از یک طرف نشان‌گر عدم انسجام در روند این‌گونه سازه‌ها انتخاب مجموعه شتاب‌نگاشت‌هایی منطبق بر طیف طرح که مبنای ارزیابی رفتار غیرخطی سازه‌ها در هنگام وقوع زلزله قرار گیرد، نیاز به معیارهای قوی تر و کامل تر دارد.

مقایسه‌ی توزیع نیروی جانبی بیشینه در ارتفاع طبقات: توزیع نیروهای جانبی بیشینه در ارتفاع طبقات برای سازه‌ی ۱۲ طبقه‌ی طراحی شده به روش مستقیم مبتنی بر تغییر مکان و روش نیرویی براساس نیروهای ویرایش سوم استاندارد ۲۸۰۰، در

منابع

1. Jennings, P.C.; Housner, G.W. and Tsai, N.C. "Simulated earthquake motions" EERL California Institute of Technology, Pasadena, California, April, (1968).
2. Kaffashian, M. "Comparison of RC building's performances designed by DDBD and Standard-2800", MSC. Thesis, IIEES, (2006).
3. simqke. I. "A program for artificial motion generation." Civil Engineering Dept. Massachusetts Institute of Technology, Available in The NISEE ("National Information Service for Earthquake Engineering") Software Library CDROM, (1976).
4. Iranian Code of Practice for Seismic Resistant Design of Buildings, Building and Housing Research Center, 3rd edition, (2005).
5. Fajfar, P.; Vidic, T.; and Fischinger, M. "Seismic design in medium -and long- period Structures", *Earthquake Eng. Struct. Dyn.*, **18**, pp. 1133-1144 (1989).
6. Trifunac, M.D. and Brady, A.G. "A Study on the duration of Strong earthquake ground motion", *Bull. Seism. Soc. Amer.*, **65**, pp. 581-626 (1975).
7. Kaffashian, M. and Bahar, O., "Perforce evaluation of RC buildings denigned by displacement and force methods", JSEE,(last review persian).
8. "OPENSEES ver1.7.2, Pacific Earthquake Engineering Research Center [PEER]. University of California [Berkeley], (2006). Available from URL : <http://opensees.berkeley.edu>.

